

防舷材の諸特性

—CIRCLE型を中心に—

高 隆二*・田川昌宏**

1. 緒 言

座屈により定反力を保ちつつ吸収エネルギーを増加させるV型防舷材は、発展史上一時代を画したとはいえ、繫留船舶の動搖により、側面元付や接触面に長手方向の亀裂を生じ、あるいは固定ボルトの破断により脱落しやすい欠陥は免れ難い¹⁾。外板強度はむしろtankerに勝る反面、高度の効率、安全性を要求される建造費の高価なLNGおよびLPG専用船を対象とした開発過程で判明した防舷材の諸特性に関し、CIRCLE型を中心概説を試みる。

2. 変 形

空隙に注入したシリコングムの形状から判定した圧縮時の変形を図-1に示す。座屈と大変形により外力を吸収するため、予期通り応力は不均一で、船舶の動搖に伴い時間的にも極めて複雑な分布を呈するであろう。

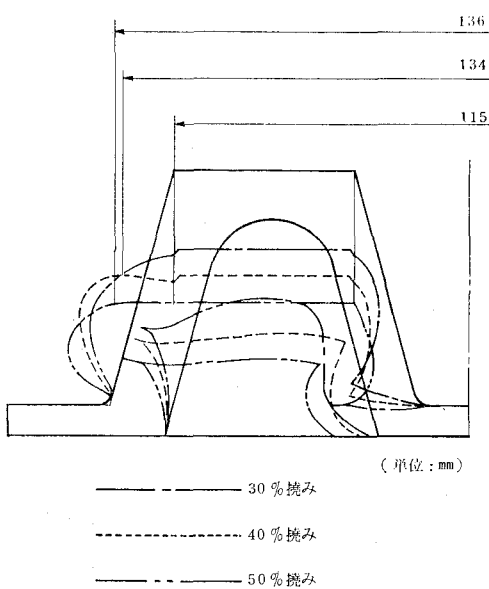


図-1 圧縮時断面形状

3. 載荷速度

通常、載荷速度50mm/分程度で行う平行圧縮試験より得た反力-たわみ曲線で防舷材の性能を表示し、船舶の接岸力に準用している。時間-温度等価性を利用し、換算変数法により換算したゴムの粘弾性は、急速載荷では鎖員の緩和と対応した“くさび型”分布のenergy弹性、緩速で鎖のからみ合いを表わす“箱型分布”的

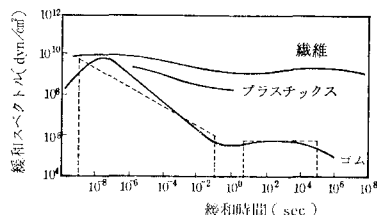


図-2 高分子物質の緩和スペクトル(常温附近)

表-1 載荷後の回復

時 刻	荷 重	高 さ	備 考
一分	0 t	531 mm	無載荷
負	82	319	40%たわみ
0	0	525	脱荷重
5	〃	528	復元中

entropy弾性に従う(応力)緩和 spectrumを有する²⁾(図-2)。

本来(ひずみ)遅延 spectrumで表示される加硫ゴムに対し、ここでは表-1に示す除荷後の形状回復を参照し、防舷材を三要素粘弾性模型で近似する(図-3)。

船舶の慣性力による力のつり合
いは

$$P = -m \frac{d^2(x+x')}{dt^2} = k'x' = kx + \mu \frac{dx}{dt} \quad \dots (1)$$

(P: 外力, m: 船舶の見かけ質量)

$$\begin{aligned} & \therefore \ddot{x} + a\dot{x} + b\dot{x} + cx = 0 \\ & a = \frac{k+k'}{\mu}, \quad b = \frac{k'}{m}, \quad c = \frac{kk'}{\mu m} \end{aligned} \quad \dots (2)$$

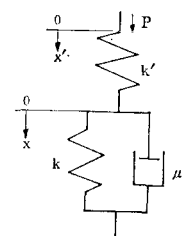


図-3 三要素模型

* 正会員 工博 (株)日本港湾コンサルタント 調査役
** 正会員 工修 (株)日本港湾コンサルタント 水理研究所

照)

となる。

座屈し始める 20% たわみ時に添字 0 を付す。Circle 型 A-130 に対し、9300 DWT 貨物船(船長 119 m, 幅員 18 m, 吃水 9.3 m, 方形係数 0.8, 付加質量係数 0.42, 質量 2.33×10^4 t)を対象とすると、 $\dot{x}_0 = 50$ mm/min, $x_0 = 6$ mm, $x'_0 = 100$ mm, $P = 82$ t, $k = 1.34 \times 10^5$ t/sec, $k' = 8.04 \times 10^3$ t/sec², $\mu = 2.79 \times 10^7$ t/sec, $a = 5.09 \times 10^{-3}$ sec⁻¹, $b = 3.44 \times 10^{-1}$ sec⁻², $c = 1.65 \times 10^{-3}$ sec⁻³ 等を代入し、初期条件、i) $x(0) = 0$, ii) $x'(0) = 0$, iii) $\dot{x}(0) + \ddot{x}'(0) = v_*$ (v_* : 接岸速度)を満たす解

$$\left. \begin{aligned} x(t) &= 4.0(1 - e^{-at} \cos \omega t) \\ x'(t) &= 60.7(1 - e^{-at} \cos \omega t) \\ &\quad + 8.19 \times 10^3 e^{-at} \sin \omega t \end{aligned} \right\} \dots \quad (3)$$

(単位: mm, $a = 3.6 \times 10^3$ sec⁻¹, $\omega = 0.59$ sec⁻¹)

を得る。座屈荷重に達した時刻 $t_0 = 0.62$ sec は短かく、 $x(t_0) = 0.3$ mm, $x'(t_0) = 99.7$ mm, すなわち 18.8% たわみとなり、載荷試験による 20% たわみと比較し、付加質量に影響を及ぼすとしても粘弾性効果を過大視するには及ばない。

4. 付 加 質 量

棧橋において比例範囲内での防舷材の変位は

$$S(\alpha, \beta, t) = \frac{1}{\beta} \left[S_1 \left\{ \frac{1}{\alpha} + \int_0^t f(t) e^{at} S_2 dt \right\} - S_2 \int_0^t f(t) e^{at} S_1 dt \right] \dots \quad (4)$$

から定まる³⁾ (ここで、 $\beta = \sqrt{4k - \alpha^2}/2$, 他の記法は文献 3) 参照)。特定の船舶および棧橋に対し α は一定、 $\dot{S} = 0$ を満足する時刻 t_0 における最大変位

$$S(\beta, t_0) = \frac{2e^{-\alpha t_0/2}}{\alpha \sin \beta t_0 - 2\beta \cos \beta t_0} \int_0^{t_0} f(t) e^{at} S_1 dt \dots \quad (5)$$

付加質量係数は

$$C_M = \frac{Ks^2}{mv_*^2} - 1 = k\alpha^2 [S(\beta, t_0)]^2 - 1 \dots \quad (6)$$

で与えられ、式 (5) より

$$\frac{dS(\beta, t_0)}{d\beta} = \frac{\partial S}{\partial \beta} + \frac{\partial S}{\partial t_0} \frac{dt_0}{d\beta} = 0$$

を成立させる β_0 において C_M は最大である。きわめて硬い防舷材

$$\frac{2\beta}{\alpha} = \sqrt{\frac{4k}{\alpha^2} - 1} \rightarrow \infty$$

では

$$S(t_0) = \frac{1}{\sqrt{k}\alpha}, \quad C_M \rightarrow 0 \dots \quad (7)$$

となる。他方、防舷材が存在しなくても、周囲の非定常流により船舶は負の慣性力を受け

$$\ddot{S} = \alpha(v_0 - v) < 0 \quad \therefore v > v_0$$

すなわち、前面で正、背面で負の段波を生じ

$$\left. \begin{aligned} \lim_{t_0 \rightarrow \infty} S(t_0) &= v_* \left(\frac{1}{\alpha} + \frac{2}{a^2} \right) \\ a &= -\frac{\ln f(t)}{\sqrt{t}} = 1.092 \sqrt{\frac{2v_*^2}{l}} \end{aligned} \right\} \dots \quad (8)$$

で、 $C_M = -1$ となる⁴⁾。付加質量を 0 とするには、 $v = v_0$ として防舷材の非線形ばね定数は

$$k(S) = \frac{\alpha^3}{4\sqrt{t}} \frac{1}{e^{a\sqrt{t}} - \sqrt{t} - 1} \dots \quad (9)$$

で表示され、粘弾性構造物となろう。

5. 繰返し荷重

載荷時、防舷材は複雑な引張・圧縮応力分布を呈し、伸長に伴うエントロピーの減少、圧縮では内部エネルギーあるいは自由エネルギーの増加等のため昇温する。繰返し荷重による応力は hysteresis loop を描き、防舷材・船側・繫船岸等の熱伝導・大気の熱伝達の影響を受け、温度は周期的・場所的に変動する。

簡単のため、表面温度一定、一様厚さ D 方向に距離 x を測ると、熱伝導方程式は

$$K \frac{d^2\theta}{dx^2} = -q \dots \quad (10)$$

(K : 热伝導係数, θ : 時間的平均温度, q : 単位体積単位時間当り発熱量)

となる。式 (10) を解けば、温度分布および最高上昇温度は

$$\theta(x) = \frac{q}{K} \left(D - \frac{x}{2} \right) x, \quad \theta_{\max} = \frac{qD^2}{8K} \dots \quad (11)$$

となる。Circle A-130 では、 $K = (3 \sim 4) \times 10^{-4}$ cal/cm·sec·deg, 40% たわみ時真の吸収エネルギー $E_0 = 0.43 \times 13$ t-m = 5.6 t-m, 一周期 T 時間の吸収エネルギー $E = \alpha E_0$ 等を代入し,

$$\theta_{\max} = 2.5 \times \frac{\alpha}{T} \times 10^3 {}^\circ\text{C} \dots \quad (12)$$

$T \approx 10$ sec, α は外力により著しく変動し、たとえば $\alpha = 0.1$ に対しては

$$\theta_{\max} = 25 {}^\circ\text{C}$$

程度中央で昇温する。

6. 安 定

波浪下の最悪条件をそれぞれ rolling, 接岸力なしし波力, heaving + pitching を主因とする傾斜圧縮せん断と推定し、接岸時と等しいたわみ、船側の接触傾斜角 10° の条件でせん断試験を行った(図-4)。繫船岸と垂直および平行な荷重 F_b , F_h , 船側および繫船岸と防舷材の摩擦係数 $\mu = 0.60$, $\mu' = 0.65$, ボルトのせん断力と軸力 S , T 等を用い

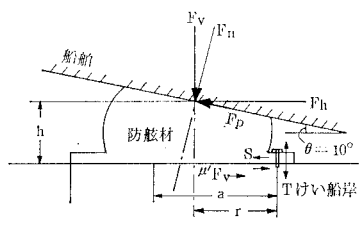


図-4 傾斜圧縮せん断

$$\left. \begin{aligned} \frac{F_h}{F_v} &= \frac{\mu + \tan \theta}{1 - \mu \tan \theta} \leq \mu' + \frac{S}{F_v} \\ hF_h &= (a - r)F_v + aT \end{aligned} \right\} \quad (13)$$

のつり合いから、 $\theta \leq 6^\circ$ で $S = 0$ 、 $\theta = 10^\circ$ で $S/F_h \approx 0.25$ となる。ボルトに作用するせん断応力 7.2 kg/mm^2 およ

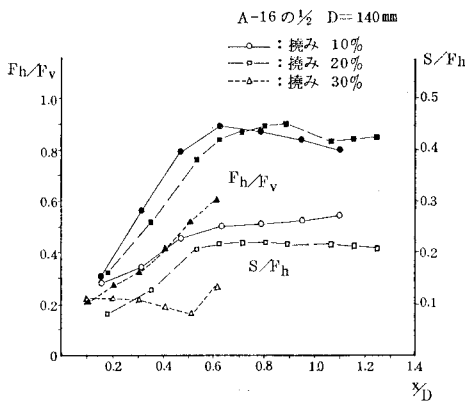


図-5 せん断荷重とボルトのせん断力

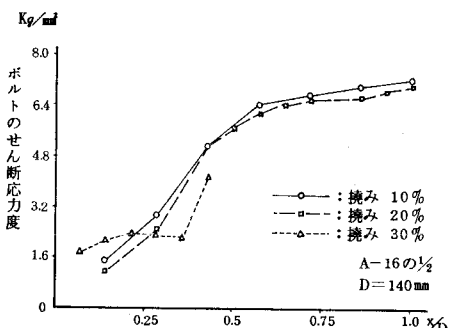


図-6 取付ボルトのせん断応力度

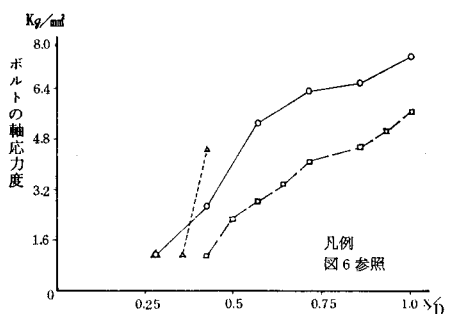
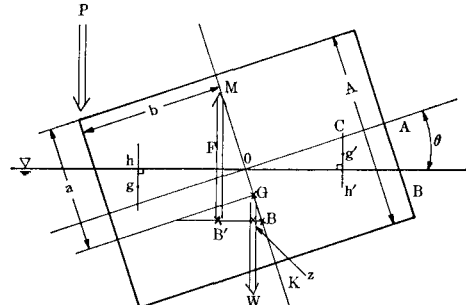


図-7 取付ボルトの軸応力度

び引張応力 6.4 kg/mm^2 は、各々許容値 $7.2 \sim 9.6 \text{ kg/mm}^2$, 28 kg/mm^2 に比し充分余裕を残して滑動し、破壊に対し安定である(図-5~7)。なお、ボルトから合力作用点までの距離は $a/r = 1.25$ となる。

7. 舷の突上げ

潮位の上昇と共に、たまたま防舷材下に潜込んだ船の突上げによる破壊も皆無ではない(図-8)。つり合い条件



G : 舷の重心(積荷も含む)

B, B' : 浮心

g, g' : 移動排水容積の重心

z : 舷重量の作用線とB, B'の交点

W : 舷の重量

F : 浮力

P : 舷の復元力

$I = \frac{1}{3} b^3 L$

: 水線面2次モーメント

V_0 : Pが作用しない時の排水容積

M : 傾心

図-8 舷による突上げ

$$\left. \begin{aligned} F &= W + P \\ (a \sin \theta + b \cos \theta)P &= \overline{Bz'} \cdot F \end{aligned} \right\} \quad (14)$$

から、舷の復元力は無荷時の傾心 M_0 を用いて

$$P = \frac{\overline{BM}_0 (\cos \frac{\theta}{2} / \cos \theta)^2 - \overline{GB}}{A - \overline{KB} + b \tan \theta} - W \quad (15)$$

となる⁵⁾。海水流入および離脱限界は舷の規模ならびに吃水に左右され、海水流入角 $10 \sim 20^\circ$ 、標準材質の離脱

表-2 舷の復元力

重量屯 (t)	排水量水 (t)	L (m)	B (m)	A (m)	d (m)	θ_0 (m)	\overline{BM}_0 (m)	\overline{GB} (m)	P (m)
100	133	20.5	5.5	1.8	1.3	10.3	2.19	0.25	16.4
	83				0.81	19.8	3.51		23.0
150	200	22.5	6.3	2.1	1.5	10.8	2.40	0.30	24.5
	125				0.94	20.2	3.84		49.8
200	267	25.0	6.6	2.2	1.6	10.3	2.30	0.30	28.3
	167				1.00	20.0	3.68		60.0
300	399	30.0	6.9	2.6	2.0	9.9	2.11	0.30	35.0
	249				1.25	21.4	3.38		83.2

L: 船長, B: 幅員, A: 高さ, d: 吃水, θ_0 : 海水流入角

時反力は Circle A-130 (33 t), V型横 (36 t), 同縦 (48 t) の順に増大し船の復元力を越さない範囲で離脱可能である⁴⁾(表-2, 図-9)。Circle A-130 では、離脱時ボルトの平均せん断応力 4.8 kg/mm^2 は許容値の 1/2 余りである。

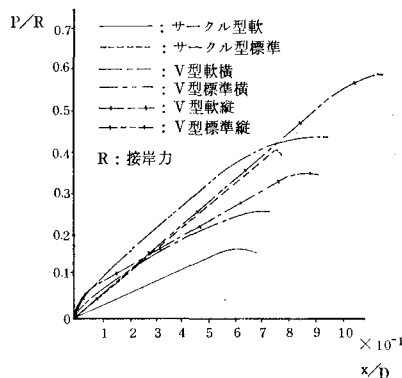


図-9 防舷材の船に対する反力

8. 船側の変形

縦肋骨の大型船では水平、横肋骨の中型船に対し鉛直に設置するV型防舷材に比して、CIRCLE型は船側保護の面で有利である⁶⁾。理論的に算定困難な外板ならびに肋骨の塑性変形は

$$\delta = \left\{ c_0 \left(\frac{\sigma}{\sigma_Y} - 1 \right) + c \left(\frac{\sigma}{2\sigma_Y} - 1 \right) E \left(\frac{\sigma}{2\sigma_Y} - 1 \right) \right\} y \quad \dots \dots \dots (16)$$

(c, c_0 : 定数, σ_Y : 降伏応力, σ : 弾性理論による最大応

表-3 船側の永久変形

DWT t	船種	Circle	変形 mm			限界応力 t/m ²	
			外板	肋骨	限界	外板	肋骨
1 050	貨	A-16	1.0	2.4	19	204	185
2 000	油	〃-25	0.8	2.4	22	215	215
28 000	〃	〃-200	1.8	12.0	25	243	108
100 000	〃	〃-310	0.4	7.4	〃	400	125
220 000	〃		0.3	4.0	〃	484	144

力, E : Heaviside の単位関数, y : 可撓性と関連する定数)

で表わされ、慣用の許容応力 28 kg/mm^2 を越すと永久ひずみを生じ、2倍の応力で激増する⁷⁾。CIRCLE型の常用応力約 90 t/m^2 における外板の変形は、日本海事協会の規定する損傷限界の数 % 程度に過ぎない(表-3)。

9. 結 言

防舷材に作用する外力を単純化した模型実験の範囲では、CIRCLE型は、肋骨の荷重分担¹⁾と接触円周ひいては面積の増加(図-1)に伴う船側損傷の軽減⁷⁾、短かい接触長は船の復元を容易にし(図-9, 表-3)、端部を欠く形状は応力集中を弱め、反力上昇・亀裂発生を妨げ⁴⁾、材質・外部摩擦を勘案した経験的に適度の剛性は動搖船舶による破損に対し安定である(図-5~7)。応力・温度分布、粘弾性、老化、ことに疲労に関する実用性の検証を現地観測を通じて行い、外力と相似則を評価すべきである。

船舶の付加質量は現行設計値を上回り、操船者に与える心理的効果から接岸速度はこれを下回り、大略設計値以内にあるとされる接岸エネルギー⁴⁾は防舷材を弾性体として算定したもので、粘弾性あるいは非線型ばね定数を用い付加質量の低下を計り、繫船岸の種別・平面形と外力に応じて防舷材の最適性状を決定することとなる。

参 考 文 献

- 1) 高 隆二・田川昌宏: CIRCLE型防舷材の特性, 第22回海岸工学講演会論文集, 1975.
- 2) 中川鶴太郎: レオロジー, 岩波書店, 1970.
- 3) 高 隆二・田川昌宏: 船舶の接岸時付加質量, 第22回海岸工学講演会論文集, 1975.
- 4) 日本港湾コンサルタント: 防衝工の研究, 1976.
- 5) 川上益男・信川 寿・田中一雅・倉沢淳五: 防舷材からの反力(箱船々型の場合), 1975.
- 6) 同: 船側構造強度と防げん材との関係について, 広島大学工学部研究報告, 第24巻第1冊, 1975.
- 7) 同: 船側構造の損傷防止を考えた防げん材の必要機能について, 1975.